



## Raport

z badań poziomu natężenia pola elektrycznego  
w otoczeniu stacji bazowej:

### STL3083

na podstawie sprawozdania P4/60/2022 udostępnionego przez A-CONNECT Anna Garwol-Porosa

---

**Laboratorium prowadzące badania**

A-CONNECT Anna Garwol-Porosa  
Strażacka 3/2  
58-370 Boguszów-Gorce  
692 692 875

**Zleceniodawca badań**

P4 Sp. z o.o.  
  
02-677 Warszawa  
790 500 500  
kontakt@play.pl

Nr akredytacji: AB 1284

Data wydania sprawozdania: 05.04.2022

Raport zawiera wybrane elementy sprawozdania i służy wyłącznie obrazowemu przedstawieniu informacji o danej instalacji. Raport nie może być wykorzystywany w postępowaniach administracyjnych.

## Informacje ogólne

Zgodność z metodyką RMK: Tak

Ograniczenia: Na podstawie art. 122a ust. 1b ustawy Prawo ochrony środowiska (t.j. Dz.U. z 2020 r., poz. 1219, 1378, 1565, 2127, 2338, z 2021 r. poz. 802, 868, 1047, 1162, 1535.), pomiary PEM w lokalach mieszkalnych i użytkowych zlokalizowanych w obszarze pomiarowym badanej stacji bazowej nie zostały przeprowadzone.

Wykorzystanie w obszarze regulowanym: Tak

## Przedmiot badań

Identyfikator stacji w UKE	STL3083
Operator	P4 Sp. z o.o.
Współrzędne	17,0986111; 50,7525000
Rodzaj pracy	ciągła
Rodzaj wytwarzanego pola	stacjonarne

## Miejsce badań

Otoczenie stacji bazowej STL3083 w lokalizacji Kuropatnik, dz. nr 16.

## Cel badań

1. Zweryfikowanie zgodności z wymaganiami rozporządzenia Ministra Zdrowia z dnia 19 grudnia 2019 r.

## Opis stacji bazowych

Tabela 1: Opis anten badanych stacji bazowych

Lp.	Identyfikator stacji w UKE	Typ Producent anteny	Azymut	H	EIRP	Pasmo	Tilt	Tilt w trakcie pomiarów
			[°]	[m]	[W]	[MHz]	[°]	[°]
1	STL3083	A704517R0v06 Huawei	40	58,50	1011*	UMTS 900	0,0 - 10,0	5,0
2		ADU4518R8v06 Huawei	40	58,50	1467*	LTE 800 LTE 1800	0,0 - 10,0 2,0 - 10,0	5,0 5,0
3		ADU4518R8v06 Huawei	40	58,50	1554*	LTE 800 LTE 2100	0,0 - 10,0 2,0 - 10,0	5,0 5,0
4		A704517R0v06 Huawei	140	58,50	1011*	UMTS 900	0,0 - 10,0	5,0
5		ADU4518R8v06 Huawei	140	58,50	1467*	LTE 800 LTE 1800	0,0 - 10,0 2,0 - 10,0	5,0 5,0
6		ADU4518R8v06 Huawei	140	58,50	1554*	LTE 800 LTE 2100	0,0 - 10,0 2,0 - 10,0	5,0 5,0
7		A704517R0v06 Huawei	290	58,50	1011*	UMTS 900	0,0 - 10,0	5,0
8		ADU4518R8v06 Huawei	290	58,50	1467*	LTE 800 LTE 1800	0,0 - 10,0 2,0 - 10,0	5,0 5,0
9		ADU4518R8v06 Huawei	290	58,50	1554*	LTE 800 LTE 2100	0,0 - 10,0 2,0 - 10,0	5,0 5,0

\* moc EIRP łączna dla wszystkich częstotliwości anteny

## Warunki pomiarów

Pomiary w wyznaczonych punktach wykonano w następujących warunkach:

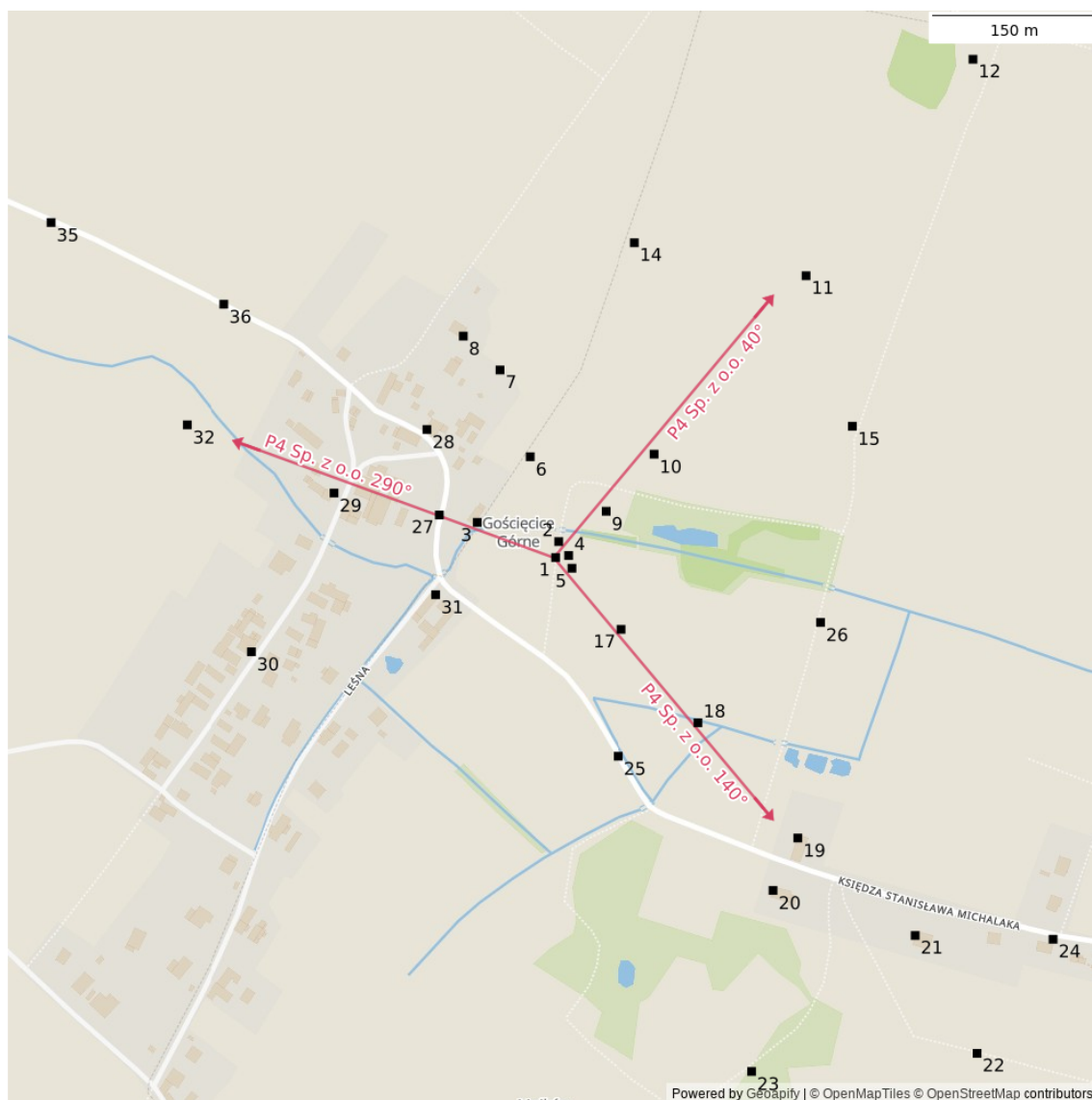
04.04.2022 11:40-13:00			
Warunki środowiskowe	Temperatura [°C]	Wilgotność [%]	Opady
Minimalna	6,8	50,1	brak
Maksymalna	8,1	52,3	

## Aparatura

Tabela 2: Aparatura

MIERNIKI I SONDY					
Lp.	Typ / Nazwa	Model	Producent	Próg detekcji	Świadectwo wzorcowania
1a	miernik	NBM-520	Narda		LWiMP/W/069/22 z dn. 08.03.2022 wydane przez LWiMP Politechniki Wrocławskiej
1b	sonda	EF6091	Narda	0,50	
POZOSTAŁE					
Lp.	Typ / Nazwa	Model	Producent	Świadectwo wzorcowania	
2	termohigrometr	P330	DOSTMANN	47102/2016 z dn. 28.11.2016 wydane przez LAB-EL ELEKTRONIKA LABORATORYJNA ANDRZEJ ŁOBZOWSKI, MARIA ŁOBZOWSKA SP. J.	

## Lokalizacje pionów pomiarowych



Rysunek 1: Plan terenu

## Wyniki pomiarów szerokopasmowych

Tabela 3: Zestawienie lokalizacji pionów pomiarowych oraz wyników pomiarów natężenia pola elektrycznego, pomiary szerokopasmowe

Nazwa	Data	Współrzędne geograficzne	E	WM <sub>E</sub>	H	WM <sub>H</sub>
		[°]	[ $\frac{V}{m}$ ]		[ $\frac{A}{m}$ ]	
1	04.04.2022	17,0986350 50,7525010	1,38	0,049	0,004	0,050
2	04.04.2022	17,0986750 50,7526320	1,15	0,041	0,003	0,042
3	04.04.2022	17,0976180 50,7527900	1,15	0,041	0,003	0,042

Ciąg dalszy na następnej stronie

Tabela 3: Zestawienie lokalizacji pionów pomiarowych oraz wyników pomiarów natężenia pola elektrycznego, pomiary szerokopasmowe (c.d.)

Nazwa	Data	Współrzędne geograficzne	E	WM <sub>E</sub>	H	WM <sub>H</sub>
		[°]	[ $\frac{V}{m}$ ]		[ $\frac{A}{m}$ ]	
4	04.04.2022	17,0988040 50,7525180	1,38	0,049	0,004	0,050
5	04.04.2022	17,0988470 50,7524130	1,38	0,049	0,004	0,050
6	04.04.2022	17,0983050 50,7533290	< 1,15	< 0,041	< 0,003	< 0,042
7	04.04.2022	17,0979130 50,7540420	< 1,15	< 0,041	< 0,003	< 0,042
8	04.04.2022	17,0974360 50,7543200	< 1,15	< 0,041	< 0,003	< 0,042
9	04.04.2022	17,0992920 50,7528810	< 1,15	< 0,041	< 0,003	< 0,042
10	04.04.2022	17,0999140 50,7533500	< 1,15	< 0,041	< 0,003	< 0,042
11	04.04.2022	17,1018880 50,7548160	< 1,15	< 0,041	< 0,003	< 0,042
12	04.04.2022	17,1040560 50,7565940	< 1,15	< 0,041	< 0,003	< 0,042
13	04.04.2022	17,1018240 50,7571370	< 1,15	< 0,041	< 0,003	< 0,042
14	04.04.2022	17,0996570 50,7550870	< 1,15	< 0,041	< 0,003	< 0,042
15	04.04.2022	17,1024890 50,7535800	< 1,15	< 0,041	< 0,003	< 0,042
16	04.04.2022	17,1059010 50,7550600	< 1,15	< 0,041	< 0,003	< 0,042
17	04.04.2022	17,0994850 50,7519110	< 1,15	< 0,041	< 0,003	< 0,042
18	04.04.2022	17,1004830 50,7511440	< 1,15	< 0,041	< 0,003	< 0,042
19	04.04.2022	17,1017810 50,7501970	1,15	0,041	0,003	0,042
20	04.04.2022	17,1014590 50,7497660	< 1,15	< 0,041	< 0,003	< 0,042
21	04.04.2022	17,1033050 50,7493960	< 1,15	< 0,041	< 0,003	< 0,042
22	04.04.2022	17,1041090 50,7484280	< 1,15	< 0,041	< 0,003	< 0,042
23	04.04.2022	17,1011800 50,7482790	< 1,15	< 0,041	< 0,003	< 0,042
24	04.04.2022	17,1050960 50,7493650	< 1,15	< 0,041	< 0,003	< 0,042

Ciąg dalszy na następnej stronie

Tabela 3: Zestawienie lokalizacji pionów pomiarowych oraz wyników pomiarów natężenia pola elektrycznego, pomiary szerokopasmowe (c.d.)

Nazwa	Data	Współrzędne geograficzne	E	WM <sub>E</sub>	H	WM <sub>H</sub>
		[°]	[ $\frac{V}{m}$ ]		[ $\frac{A}{m}$ ]	
25	04.04.2022	17,0994480 50,7508690	< 1,15	< 0,041	< 0,003	< 0,042
26	04.04.2022	17,1020760 50,7519680	< 1,15	< 0,041	< 0,003	< 0,042
27	04.04.2022	17,0971250 50,7528510	< 1,15	< 0,041	< 0,003	< 0,042
28	04.04.2022	17,0969640 50,7535530	1,15	0,041	0,003	0,042
29	04.04.2022	17,0957570 50,7530310	1,15	0,041	0,003	0,042
30	04.04.2022	17,0946840 50,7517270	< 1,15	< 0,041	< 0,003	< 0,042
31	04.04.2022	17,0970770 50,7521960	< 1,15	< 0,041	< 0,003	< 0,042
32	04.04.2022	17,0938520 50,7535910	< 1,15	< 0,041	< 0,003	< 0,042
33	04.04.2022	17,0908810 50,7542760	< 1,15	< 0,041	< 0,003	< 0,042
34	04.04.2022	17,0909130 50,7528300	< 1,15	< 0,041	< 0,003	< 0,042
35	04.04.2022	17,0920820 50,7552530	< 1,15	< 0,041	< 0,003	< 0,042
36	04.04.2022	17,0943250 50,7545820	< 1,15	< 0,041	< 0,003	< 0,042

## Podsumowanie

Na podstawie wyników pomiarów pola elektromagnetycznego przedstawionych w niniejszym raporcie o nr P4/60/2022 opracowanym przez A-CONNECT Anna Garwol-Porosa stwierdza się, że w otoczeniu stacji bazowej STL3083 dopuszczalne poziomy pól elektromagnetycznych w środowisku, określone w przepisach wydanych na podstawie art. 122 ust. 1 ustawy z dnia 27 kwietnia 2001 r. – Prawo ochrony środowiska uznaje się za **dotrzymane**. Udokumentowano, że w żadnym pionie pomiarowym wartości wskaźnikowe WM<sub>E</sub> oraz WM<sub>H</sub> nie przekroczyły 1.

## Osoby odpowiedzialne

Wykonanie pomiarów: b.d.

Opracowanie sprawozdania: b.d.

Autoryzacja sprawozdania: Łukasz Porosa (Kierownik ds.jakości)